

[ 文章编号] 1004- 0609(2001)S1- 0009- 04

# Zr 对 Sr 变质近共晶 Al-Si 铸造合金组织和性能的影响<sup>①</sup>

孙 瑜<sup>1,2</sup>, 廖恒成<sup>2</sup>, 孙国雄<sup>2</sup>

(1. 盐城工学院 机械工程系, 盐城 224002; 2. 东南大学 机械工程系, 南京 210018)

[摘要] 分析了 Zr 对 Sr 变质近共晶 Al-Si 铸造合金组织的影响。结果表明, 随着 Zr 加入量的增加, 枝晶  $\alpha$ (Al) 有等轴化趋势; 当 Zr 加入量为 0.5%~0.6% 时, 枝晶  $\alpha$  完全等轴化; 这是由于熔体中形成了  $ZrAl_3$  颗粒, 在合金凝固过程中起到了异质生核作用, 并且 Zr 对共晶硅的形态、尺寸没有明显影响; 随着 Zr 加入量增加, 合金的力学性能明显提高。

[关键词] Al-Si 合金; 锆; 异质生核

[中图分类号] TG146.2<sup>+</sup> 1; TG146.4<sup>+</sup> 5

[文献标识码] A

近共晶成分的 Al-Si 合金由于具有优良的铸造性能, 良好的力学性能、耐腐蚀性、可焊性及低的膨胀系数, 在机械工业、汽车工业、航空等领域有着广阔的应用前景<sup>[1]</sup>。合金化、组织细化和热处理是这类合金的主要强化措施, 其中组织细化是合金韧化的主要途径<sup>[2]</sup>。Al-Si 合金中用 Na, K, Sr 等元素变质, 可使初晶硅消失, 共晶硅转变为细小而均匀的纤维状, 但同时会导致产生长柱状枝晶。Ti, B 等中间合金常常作为晶粒细化剂应用于工业纯铝及铝合金中, 以获得细小的等轴晶。当熔体中 Ti, B 和 Na, K, Sr 共存时, Ti, B 会对 Na, K, Sr 的变质效果产生不良影响<sup>[3]</sup>。研究表明<sup>[4]</sup>, Sr 变质近共晶 Al-Si 铸造合金加入 Al-5Ti-1B 中间合金, 对枝晶细化几乎没有促进作用, 当中间合金加入量超过 0.8% 时, Sr 的变质效果变差, 表现为枝晶数量减少, 初晶硅重新出现, 共晶硅尺寸变大。Zr 广泛应用于变形铝合金中, 其主要作用是抑制晶粒长大和提高再结晶温度<sup>[5]</sup>, 但在 Al-Si 铸造合金中的应用鲜见报道。本研究的主要目的是了解 Zr 的加入对 Al-11.6% Si 合金铸态组织及性能的影响。

## 1 实验

实验合金为 ZAAISiD-0 中间合金, 其化学成分见表 1。Sr 和 Zr 分别以 Al-10% Sr 和 Al-4% Zr(质量分数)中间合金的形式加入, 加入量见表 2。在电阻炉内用石墨坩埚进行熔化、精炼除气, 静置 5 min, 720 °C 进行浇注(金属型预热至 250 °C)。金相

试样从拉伸试样标距内截取, 用 0.5% HF 水溶液侵蚀。用光学显微镜和扫描电镜进行组织观察, 用 EDX 进行组织鉴定和成分分析。

表 1 ZAAISiD-0 中间合金的化学成分

Table 1 Composition of ZAAISiD-0 master alloy (mass fraction, %)

Si	Mg	Cu	Fe	Mn	Zn	Ti	Ca	Al
11.6	0.4	0.13	0.10	≤0.10	≤0.08	≤0.10	≤0.10	Bal.

表 2 实验中 Zr 和 Sr 的加入量

Table 2 Contents of Zr and Sr in experiment

Sample No.	w (Sr) / %	w (Zr) / %
1	0.04	-
2	0.04	0.2
3	0.04	0.3
4	0.04	0.4
5	0.04	0.5
6	0.04	0.6

## 2 结果与讨论

### 2.1 枝晶 $\alpha$ 的形态

不同 Zr 加入量下枝晶  $\alpha$  的形貌如图 1 所示。可见, Al-11.6% Si 合金中加入 0.2% Zr 时, 枝晶  $\alpha$  二次臂变短且间距变小, 但其形态无明显变化, 枝晶  $\alpha$  仍呈长柱状; 当 Zr 加入量为 0.3%~0.4% 时,

① [收稿日期] 2000-07-12; [修订日期] 2000-12-05

[作者简介] 孙瑜(1963-), 男, 讲师, 硕士研究生。

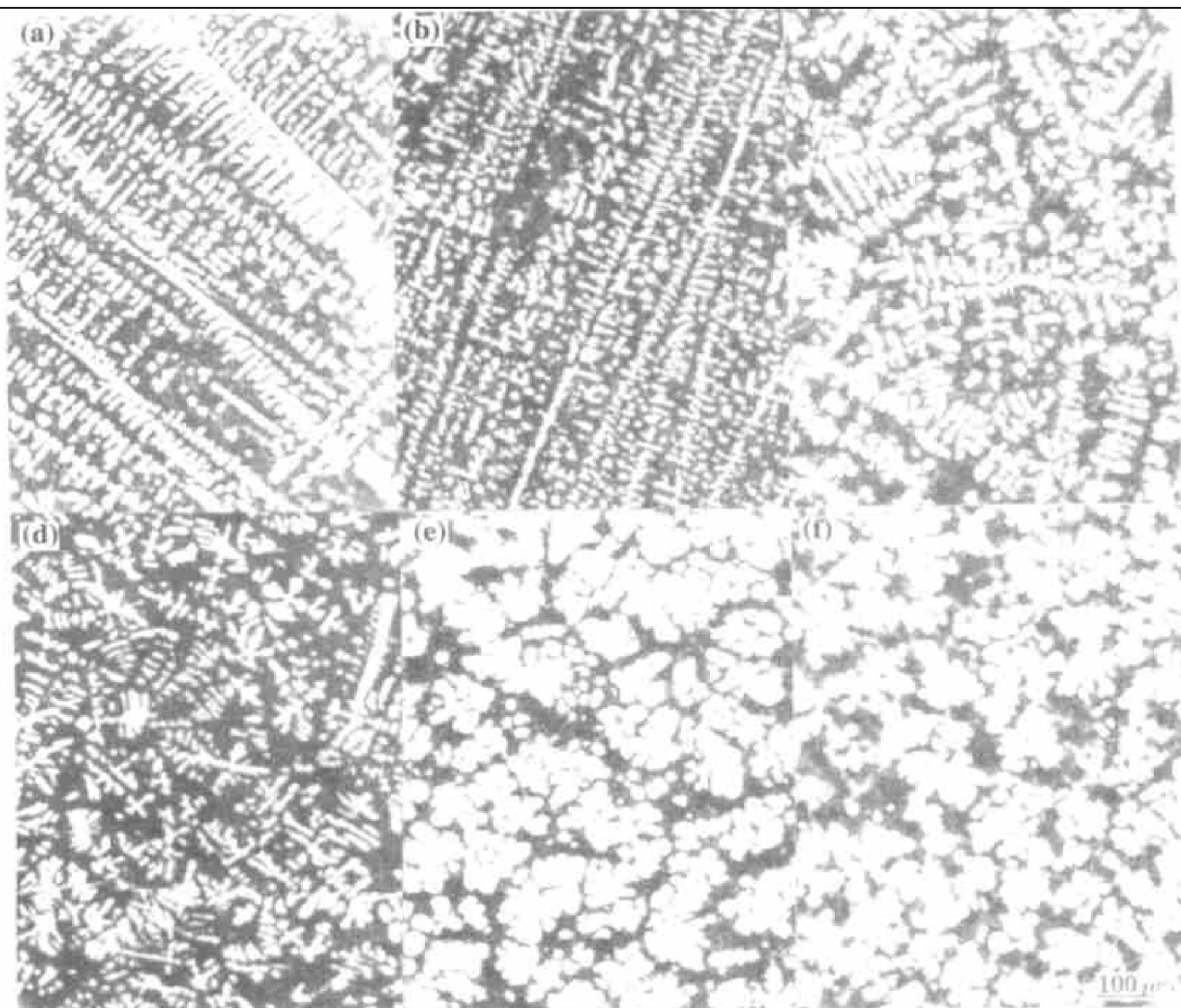


图 1 枝晶  $\alpha$  形貌随 Zr 加入量的变化

**Fig. 1** Morphologies of dendritic  $\alpha$  phase with different addition of Zr

(a) -0% Zr; (b) -0.2% Zr; (c) -0.3% Zr; (d) -0.4% Zr; (e) -0.5% Zr; (f) -0.6% Zr

枝晶  $\alpha$  有明显的等轴化趋势，主干长度缩小，二次臂变粗，说明枝晶的主干和二次臂的生长趋于一致；当 Zr 加入量为 0.5% ~ 0.6% 时，长柱状晶完全等轴化，主干完全消失，呈菊花状向四周生长。因此，从枝晶  $\alpha$  的形态、大小变化来看，Zr 对 Al-11.6% Si 合金组织中枝晶  $\alpha$  有明显的细化作用，使枝晶  $\alpha$  从长柱状转化为等轴状。

进一步观察 Zr 加入量为 0.5% 时合金的金相照片，发现部分枝晶内部存在多边形、圆形、短条状颗粒相(见图 2)，其尺寸为  $5 \mu\text{m}$  左右。能谱分析表明颗粒相主要由 Al 和 Zr 组成，Al 和 Zr 原子比为 3:1，可大致确定为  $\text{ZrAl}_3$ 。对于颗粒相中包含有少量的 Si，作者推测可能是由于电子束漂移或穿透颗粒相造成的。

Al-Zr 二元相图<sup>[6]</sup>中，Zr 在  $\alpha(\text{Al})$  中的最大溶解度为 0.11%，在 935.5 K 时发生  $\text{L} + \text{ZrAl}_3 \rightarrow \alpha(\text{Al})$  包晶反应。 $\text{ZrAl}_3$  的晶体结构为  $\text{DO}_{23}$ 型<sup>[7]</sup>，空

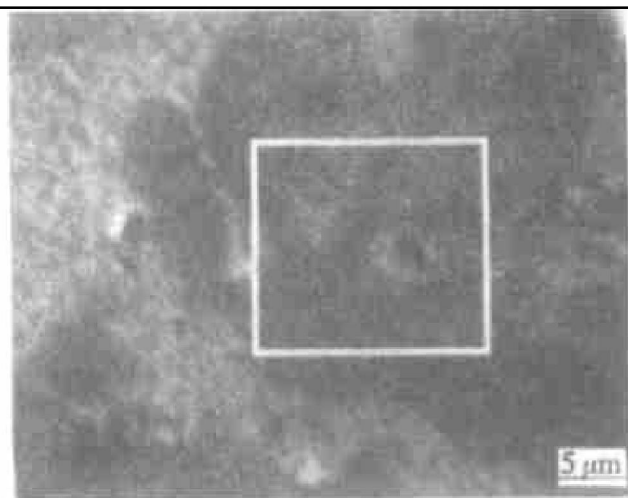


图 2 颗粒相的形貌

**Fig. 2** Morphology of particle phase

间群  $\text{I}_4/\text{mmm}$ ，其晶格常数( $a = 4.013 \sim 4.015 \text{ \AA}$   $c = 17.32 \sim 17.35 \text{ \AA}$ )与 Al 的( $a = 4.050 \text{ \AA}$ )相近或成比例， $\text{ZrAl}_3$  和 Al 的失配度为 0.925%。可见

ZrAl<sub>3</sub> 和 Al 完全匹配。根据异质形核理论, 匹配越好, 原子间结合力越大, 新相的原子越容易在衬底上生核, 甚至能直接外延生长<sup>[8,9]</sup>。因此, ZrAl<sub>3</sub> 颗粒可作为枝晶  $\alpha$ (Al) 的结晶核心。Zr 在合金中主要以 2 种形式存在, 一种是固溶在  $\alpha$ (Al) 内部, 另一种是形成 ZrAl<sub>3</sub>。当加入量较低时, Zr 全部固溶在  $\alpha$ (Al) 内, 合金体系中不存在 ZrAl<sub>3</sub> 颗粒, 对枝晶  $\alpha$  的细化不起作用; 当 Zr 加入量增加时, 除部分溶解在  $\alpha$ (Al) 外, 熔体还存在着 ZrAl<sub>3</sub> 颗粒, 并可作为  $\alpha$ (Al) 的形核基底, 使枝晶得到细化。随着 Zr 加入量的增加, 熔体存在着 ZrAl<sub>3</sub> 颗粒越来越多, 最终使长柱状晶转化为细小的等轴晶。

## 2.2 硅相的形貌和大小



图 3 Al-11.6% Si-0.5% Zr 合金

(0.04% Sr 变质) 共晶硅的形貌

**Fig. 3** Morphology of eutectic Si in  
Al-11.6% Si-0.5% Zr alloy modified with 0.4% Sr

Sr 作为变质剂加到 Al-Si 合金中, 使共晶硅形态从粗大的片状(或针状)转变为细小的纤维状。Ti, B 等中间合金通常作为 Al-Si 合金的细化剂, 但对 Sr 的变质具有毒化作用。Sigworth 等<sup>[10]</sup>研究认为部分或全部失去变质效果是由于 Sr 和 B 形成稳定的硼化物 SrB<sub>6</sub>, 当熔体中 Ti, B 和 Sr 共存时, 减少了熔体中有效 Sr 量, 消弱了 Sr 的变质效果。作者以 Al-Zr 中间合金作为细化剂, 加入 Sr 变质的 Al-Si 合金中, 发现共晶硅仍为细小的纤维状(见图 3), 也未发现 Zr 和 Sr 的化合物。有理由认为, 加入 Al-Zr 中间合金没有消弱 Sr 的变质效果。

## 2.3 力学性能和断口形貌

图 4 为铸态合金的抗拉强度和延伸率随 Zr

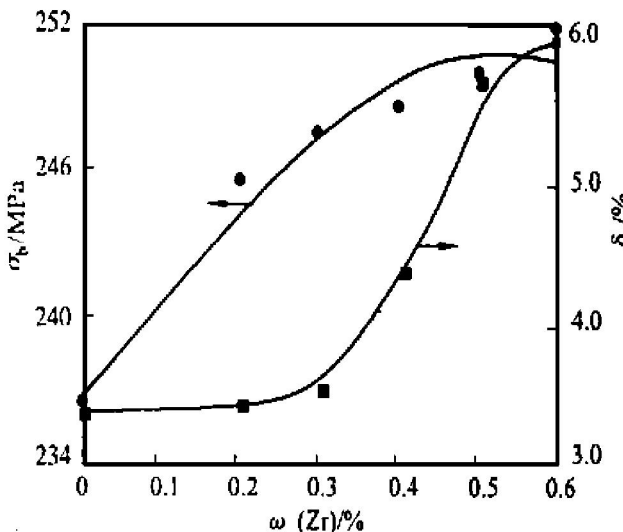


图 4 Al-11.6% Si 合金(0.04% Sr 变质)

抗拉强度和延伸率随 Zr 加入量的变化

**Fig. 4** Variations of ultimate tensile strength and elongation with Zr addition

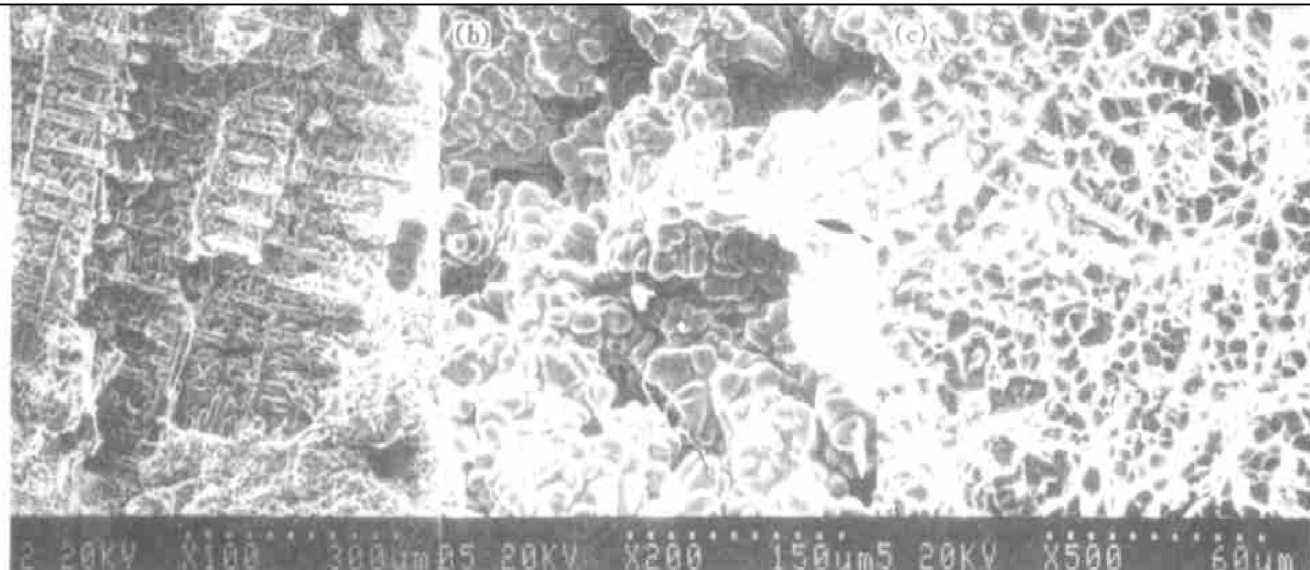


图 5 Al-11.6% Si 合金断口中心部位组织形态和断口形貌

**Fig. 5** Microstructure of fracture center and tensile fracture morphologies of alloys  
(a) -0.2% Zr; (b) -0.5% Zr; (c) -0.6% Zr

加入量的变化。图 5 为 Zr 加入量不同时试样的断口形貌。

从图 4 可见当 Zr 加入量为 0.2% 时, 抗拉强度明显提高, 而延伸率没有明显变化。这可能是由于非平衡凝固条件下 Zr 固溶到  $\alpha$  相中所致; 随着 Zr 加入量增加, 强度呈缓慢上升趋势, 当加入量增加到 0.5%~0.6% 时, 延伸率显著提高, 说明延伸率对枝晶  $\alpha$  的形态十分敏感。因此, 添加 Zr 中间合金对合金的强度和塑性都是有益的。

当 Zr 加入量为 0.2% 时, 试样断口中心部位(缩松处)的枝晶仍为长柱状(如图 5a 所示), 说明加入量较低时, Zr 基本上固溶到  $\alpha$ (Al) 中, 对枝晶没有细化作用。当 Zr 加入量为 0.5% 时, 枝晶形态几乎完全为等轴晶, 呈团絮状(如图 5b 所示)。当 Zr 加入量为 0.6% 时, 试样断口形貌中均匀分布着许多韧窝, 其边缘呈撕裂状, 且取向杂乱(如图 5c 所示), 说明合金断裂前发生了明显的塑性变形, 这说明 Zr 的加入改变了枝晶的形态, 显著提高了合金的塑性。

## [ REFERENCES ]

- [1] XIONG Yar cai(熊艳才), LIU Bo cao(刘伯操). 铸造铝合金现状及未来发展[J]. Special Casting & Nonferrous Alloys (特种铸造及有色合金), 1981(4): 1~4.
- [2] Nonferrous Alloys & Heat Treatment (有色金属及热处理) [M]. Beijing: National Defence Industrial Press,
- [3] FANG Xin-xian(方信贤), SUN Guo-xiong(孙国雄). 熔体直接反应生成 TiB<sub>2</sub> 对 ZL101 硅相形貌及变质效果的影响[J]. Foundry (铸造), 2000(5): 272~275.
- [4] LIAO Heng-cheng(廖恒成), SUN Yu(孙瑜), SUN Guo-xiong(孙国雄), et al. Al-5%Ti-1%B 对 Sr 变质 Al-13.0%Si 合金组织的影响的研究[J]. Foundry (铸造), 2000(5): 251~256.
- [5] YU Kun(余琨), LI Song-rui(李松瑞), LI Wen-xian(黎文献), et al. 微量 Sc 和 Zr 对 2618 铝合金再结晶行为的影响[J]. The Chinese Journal of Nonferrous Metals (中国有色金属学报), 1999, 9(4): 699~713.
- [6] Moudolfo L F. WANG Zhutang(王祝堂), ZHANG Zhenglu(张振录), ZHANG Xuan(郑璇), et al, Trans. Aluminum Alloys: Structure and Propertys (铝合金的组织与性能) [M]. Beijing: Metallurgical Industry Press, 1984. 351~353.
- [7] Han S Z, Park S I. Lattice matching of DO<sub>23</sub> and DO<sub>22</sub> phases in Al-6%(Ti, V, Zr) systems [J]. Materials Science and Engineering, 1997, A230: 100~106.
- [8] LIAO Heng-cheng(廖恒成), FANG Xin-xian(方信贤), SUN Guo-xiong(孙国雄). 铸造 Al-Si 合金熔体处理—晶粒细化[J]. Special Casting & Nonferrous Alloys (特种铸造及有色合金), 1999(3): 49~53.
- [9] Mohanty P S, Gruzleski J E. Grain refinement mechanisms of hypoeutectic Al-Si alloys [J]. Acta Mater, 44(9): 749~386.
- [10] Sigworth G K, Guzowski M M. Grain refining of hypoeutectic Al-Si alloys [J]. AFS Transactions, 1985, 93: 907~912.

## Influence of Zr on microstructures and properties of near-eutectic Al-Si casting alloys modified with Sr

SUN Yu<sup>1,2</sup>, LIAO Heng-cheng<sup>2</sup>, SUN Guo-xiong<sup>2</sup>

(1. Department of Mechanical Engineering, Yancheng Institute of Technology,  
Yancheng 224002, P. R. China;

2. Department of Mechanical Engineering, Southeast University,  
Nanjing 210018, P. R. China)

**[Abstract]** The influence of Zr on microstructures of near-eutectic Al-Si alloys was studied. The results indicate that increasing Zr content, dendritic  $\alpha$  phase tends to change from long columnar to equiaxed. When adding 0.5~0.6% Zr, the  $\alpha$  phase is equiaxed fairly. This is because ZrAl<sub>3</sub> particles formed in the melt play a role of heterogeneous nucleation during solidification. There is no noticeable change of the microporphy and size of eutectic silicon and mechanical properties of alloys are improved with increasing Zr content.

**[Key words]** Al-Si alloys; Zr; heterogeneous nucleation

(编辑 杨兵)